

# 철근콘크리트 보의 전단강도 예측

## Prediction of Shear Strength in RC Slender Beams

이 창 신      신 균 옥      김 우  
Rhee Chang Shin    Shin Geun Ok    Kim, Woo

### ABSTRACT

This paper deals with the verification of the new truss model that has been conceptually derived and formulated in preceding research. Since the model includes the arch coefficient- $\alpha$ , the characteristics of this coefficient are examined, and it appears that the coefficient- $\alpha$  is a function of  $a/d$ ,  $P$  and  $P_v$ . The arch coefficient- $\alpha$  is applied to the test specimens available in literatures, and the predicted values are shown to be in excellent agreement with the experimental results.

### 1. 서 론

휨과 전단이 작용하는 RC부재의 해석을 위한 비-베르누이-적합 트리스 모델링 기법 연구<sup>1), 2)</sup>를 통해 휨과 전단이 작용하고 있는 철근콘크리트 부재의 내력계(internal force flow)를 표현하기 위한 새로운 트리스모델의 개념을 유도하고 기하적 형상을 정식화하였다. 이 모델은 전단력은 모멘트의 변화율이라는 관계식  $V=dM/dx=zdT/dx+Tdz/dx$  의 역학적 현상을 수치적으로 복제한 것으로써, 부재의 전단저항 메커니즘을 보작용과 아치작용이라는 두 구성 성분의 합으로 표현한 것이다. 이러한 현상의 수치적 복제를 위해, 두 작용의 구성비인 아치계수- $\alpha$  와 아치형상함수라는 새로운 개념을 도입하였으며, 계수- $\alpha$ 의 값은 두 작용의 상호 변형적합조건에 의해 결정하였다. 이 때 복부의 변형과 힘의 상태를 파악하기 위해 수정압축장이론<sup>3)</sup>을 적용하였으며, 타이의 변형은 CEB/FIP MC-90의 해당 규준을 이용하였다. 이러한 과정에 의해 최종적으로 계수- $\alpha$ 의 값이 산출되는데, 이 값을 이용하면, 부재의 내력계를 표현할 수 있는 새로운 트리스의 기하적 형상을 결정할 수 있었다. 본 논문에서는 선행연구에서 다루어졌던 새로운 트리스모델의 단면 해석법을 이용하여 긴보( $a/d \geq 2.5$ )에서 위험단면을 산정하고, 새로운 모델의 적용성과 그 정확성에 대한 검증 내용을 다룬다.

### 2. 스터립을 갖는 보의 전단강도 예측

#### 2.1 위험단면의 산정

스터립을 갖는, 집중하중이 작용하는 철근콘크리트 보의 전단에 대한 위험단면은 최대 모멘트가 발생하는 하중 점으로부터  $0.5a$ 이내에 존재하는 것으로 나타났다. 그림 1(a)는 하중 증가에 따른 균열의 형태를 나타낸 것으로 하중점으로 갈수록 경사각이  $90^\circ$ 에 가깝게 발생하는 경향을 보이고 있다. 그림 1(d)는 Leonhardt(ET2) 보<sup>4)</sup>의 극한하중단계에서 경사각, 주인장변형률( $\epsilon_1$ ) 및 복부의 평균 횡방향 변형률( $\epsilon_2$ )을 나타낸 것으로 하중점에 가까울수록 주인장변형률 및 경사각은 증가한다. 이때, 복부의 횡방향 변형률은 임계점까지 지속적으로 증가한 후, 하중점까지 다시 감소하는 경향을 나

\* 정회원, 전남대학교 토목공학과 박사과정

\*\* 정회원, 전남대학교 토목공학과 석사과정

\*\*\* 정회원, 전남대학교 토목공학과 교수

타내며, 이러한 현상은 그림 1(e)에서 보이고 있는 Mohr's strain circle을 만족한다. 따라서, 복부파괴의 관점에서 볼 때, 복부의 변형률이 최대인 위치를 위험단면으로 보는 것이 타당하다. 그림 1(a)의 음영부분을 하나의 membrane으로 분리할 때, 음영부분은 도시된 그림 1(c)와 같은 트러스를 구성한다고 할 수 있으며, 이때 (*mnop*) membrane의 파괴를 지배하는 주부재(A)는 압축력의 합력점을 통과하는 기하조건을 갖는다. 경사각은 그림 1(b)의 기하조건으로부터 다음식과 같이 쓸 수 있다.

$$\mu_x = \tan^{-1} [(z_o - z_x/2)/(a-x)] \quad (1)$$

## 2.2 극한전단강도( $V_u$ ) 예측식<sup>2)</sup>

본 논문에서는 새로운 트러스모델의 가능한 파괴 형태 중 스터립 항복에 의한 파괴형태만을 다루기로 한다.

그림 1(c)는 균열이 발생한 부재의 경사균열을 가로지르는 단면에 작용하는 전단력을 나타낸 것으로 한 단면의 전체 전단력은 세 기본 저항 성분의 합으로 표현할 수 있다. 즉,

$$V = V_a + V_{ci} + V_s \quad (1)$$

균열면에서는 골재 맞물림작용에 의해 저항하는 전단력  $V_a$ 가 작용하고 있다. 실제 콘크리트 보에서는 다월작용 또는 골조작용에 의해 저항하는 성분이 존재한다. 이러한 저항성분을  $V_a$ 에 추가한다면, 실제  $V_a$ 는 골재 맞물림 작용 만에 의한 값과 다를 수 있으며, 이러한 효과들을 모두 반영한다면 그 과정이 매우 복잡하게 될 것이다. 따라서 간단하면서 기존 실험 결과 및 설계기준의 접근 방법과 일관성을 확보하기 위한 실제적 대안이 필요하게 된다. 따라서 본 논문에서는 수많은 실험 결과를 토대로 작성된 미국 ACI 설계기준에서 사용하고 있는 아래의 최소 전단력 값을  $V_a$ 로 간주하는 것이 합리적인 대안 중 하나일 것이라 판단된다.

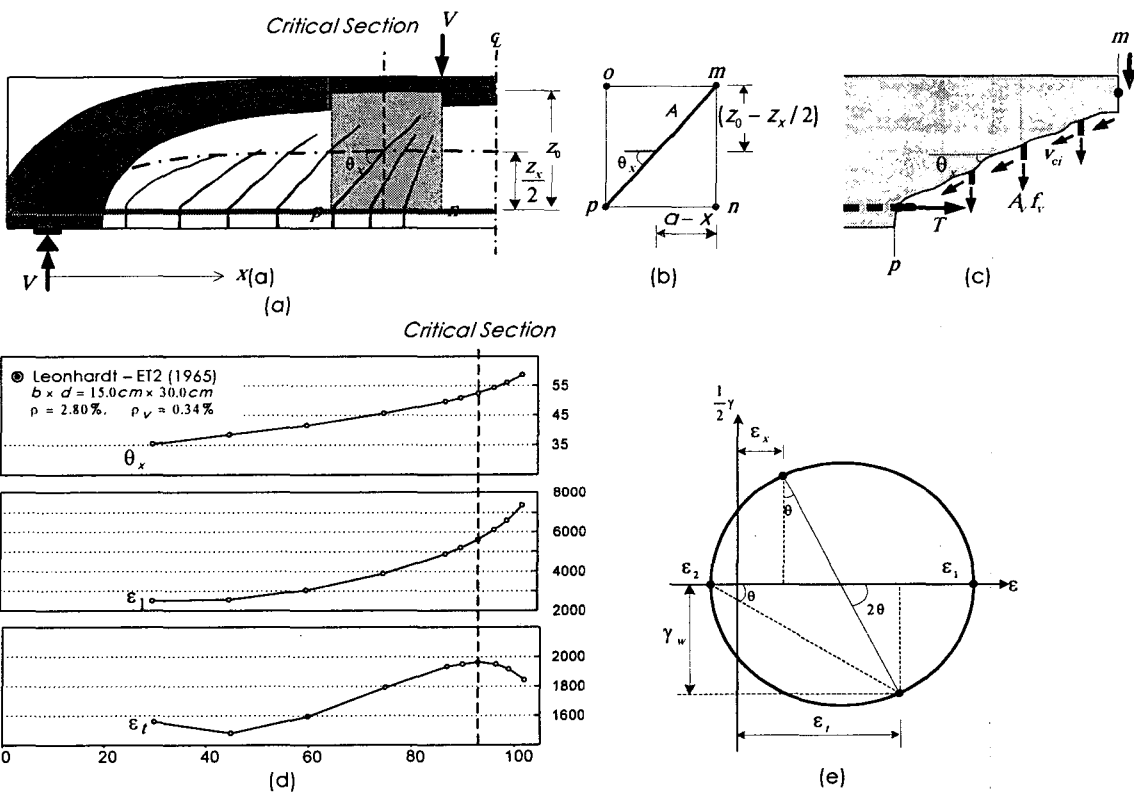


Fig. 1 Determination of Shear Critical Section

$$V_{ci} = 0.16\sqrt{f_{ck}} b_w d \quad (2)$$

스티립 항복에 의한 극한전단강도  $V_{uy}$ 는  $f_v$ 가  $f_{vy}$ 에 도달할 때의 전단력  $V$ 에 해당할 것이다. 즉,

$$V_{u,y} = \frac{1}{1-\Phi} (V_{ci} + A_v f_{vy} \frac{Z_x}{S} \cot \mu_x) \leq V_{u,i} \quad (3)$$

여기서  $V_{u,i}$ 는 휨파괴가 발생할 때의 전단력을 의미한다. 따라서 간단하면서 기존 실험결과 및 설계기준의 접근방법과 일관성을 확보하고 있다고 판단되는 ACI-318 설계기준의 최소전단력 값을 사용한다. 만약 위 식에  $V_{ci}$ ,  $\alpha_u=0$  및  $\theta=45^\circ$ 를 대입하면, 식 (3)은 현행 ACI-318 설계기준과 동일하게 된다는 것을 알 수 있다.

### 3. 실험 자료를 통한 검증

그림 2~5는 스티립이 있는 보의 극한전단강도에 대해 기 발표된 실험자료와 식(3)을 이용한 극한전단강도 예측값을 비교한 결과이다. 실험자료 11set, 96개<sup>5~7)</sup>의 철근콘크리트 구형보는 다양한 콘크리트 강도( $f_{ck}$ ), 주철근 비율( $\frac{A_v}{b_h}$ ), 전단경간비( $a/d$ )를 주 변수로 하였으며, 실험결과와 제안모델에 의한 예측 결과가 모든 보에서 대체로 잘 맞는 것으로 나타났다.

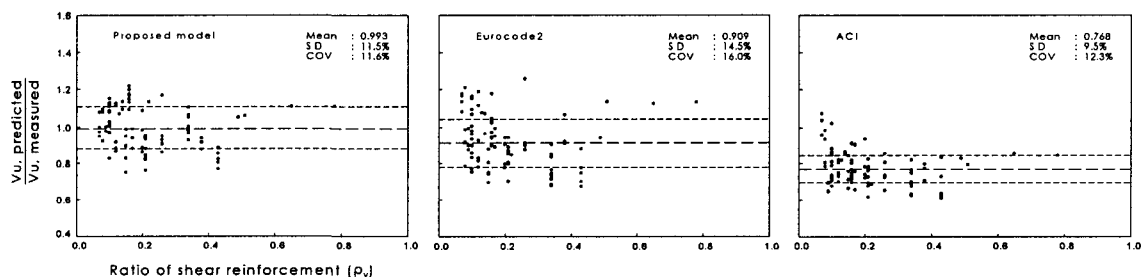


Fig. 2 Ratio of prediction to experimental results for shear reinforcement

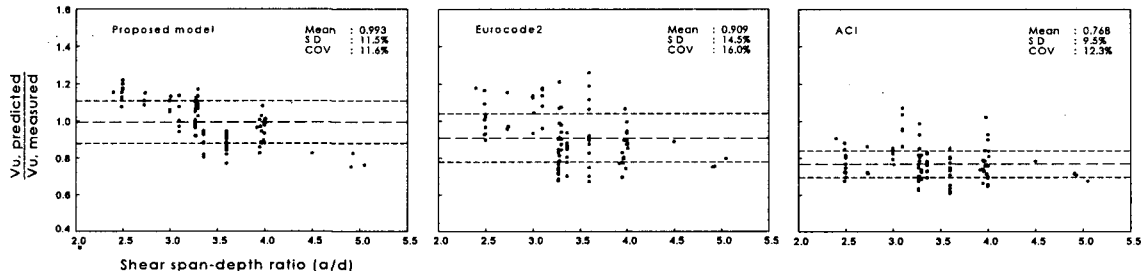


Fig. 3 Ratio of prediction to experimental results for shear span-depth ratio

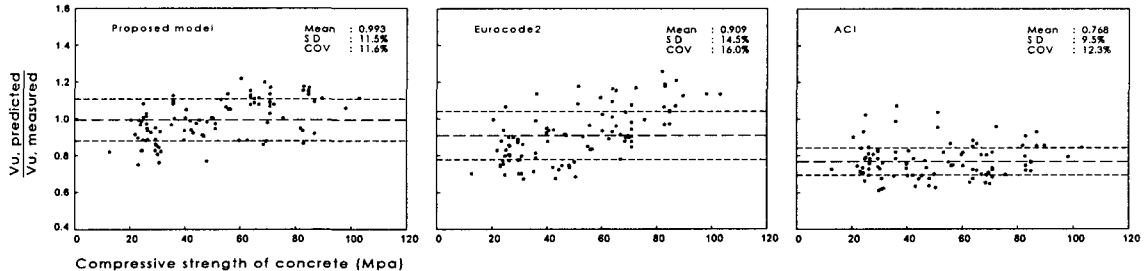


Fig. 4 Ratio of prediction to experimental results for compressive strength of concrete

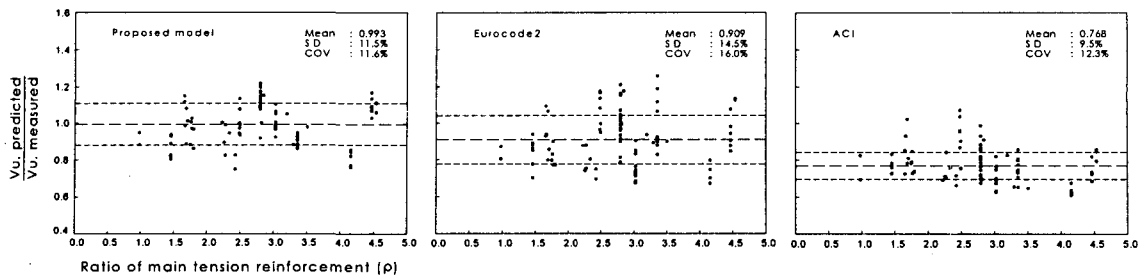


Fig. 5 Ratio of prediction to experimental results for main tension reinforcement

#### 4. 결론

본 연구는 새로운 트러스 모델에 대한 적용성 및 검증 단계의 일환으로 수행되었으며, 복부파괴의 관점에서 위험 단면을 산정하고, 아치계수- $a$ 를 이용하여 기존 문헌에서 주어진 실험결과에 새 모델의 적용성을 검증한 결과, 전단 보강된 철근콘크리트 보( $a/d \geq 2.5$ )의 극한 전단 강도 예측에 대한 정확성이 매우 양호한 것으로 나타났다. 현행 설계기준과 비교해 본 결과, Eurocode는 전단보강이 적은 보 및 고강도 콘크리트 제원에서 전단능력을 과대평가하고 있는 것으로 나타났으며, ACI는 실제값보다 매우 낮게 나타나 설계과정이 매우 보수적인 것으로 보인다.

결론적으로, 본 연구의 제안모델은 긴보( $a/d \geq 2.5$ )에서 주철근비, 전단보강 철근비, 전단경간비, 콘크리트 강도에 따른 영향을 현행 설계기준에 비해 본 연구에서 제안하고 있는 새로운 트러스 모델에 의한 극한전단강도 예측 결과가 현행 설계기준에서 채택하고 있는 극한전단강도 예측식에 비해 해석결과의 정확성을 크게 향상시킨 것으로 판단되며, 향후 제안모델을 이용한 다양한 검증 및 확장이 이루어져야 할 것이다.

#### 감사의 글

이 연구는 한국과학재단 특정기초 연구(과제번호 R01-2002-000-00592-0) 지원으로 수행된 결과의 일부이며, 이에 감사드린다.

#### 참고문헌

1. 김우, 정제평, 김대중, “휨과 전단이 작용하는 RC 부재의 해석을 위한 비-베르누이-적합 트러스 모델링 기법 연구(I) –기본 개념 유도를 중심으로–”, 대한토목학회 논문집, 23권 6A호, 2003, pp.1247~1256.
2. 김우, 정제평, 박대성, “휨과 전단이 작용하는 RC 부재의 해석을 위한 비-베르누이-적합 트러스 모델링 기법 연구(II) –실제적 해법을 중심으로–”, 대한토목학회 논문집, 23권 6A호, 2003, pp.1257~1266.
3. Vecchio, F. J., and Collins, M. P., "The modified compression field theory for reinforced concrete elements subjected to shear", *ACI Journal*, Vol. 83, No. 2, 1986, pp.219~231.
4. Leonhardt, F. (1965), "Reducing the shear reinforcement in reinforced concrete beams and slabs," *Magazine of Concrete Research*, Vol. 17, No.53, pp.187~198.
5. Mphonde, A. G., and Frantz, G. C., "Shear Tests of High- and Low-Strength Concrete Beams with Stirrups", *High-Strength Concrete*, SP-87, H. G. Russell, ed., American Concrete Institute, Farmington Hills, Mich., 1985, pp.179~196.
6. Placan, A., and Regan, P. E., "Shear Failure of Reinforced Concrete Beams", *ACI Journal*, Proceedings V. 68, No. 10, Oct. 1971, pp.763~773.
7. Johnson, M. K., and Ramirez, J. A., "Minimum Shear Reinforcement in Beams with Higher Strength Concrete", *ACI Structural Journal*, V. 86, No. 4, July-Aug. 1989, pp.376~382.